

# Capitolo 1

## Simulazione del codice

Prima di provare il modello sul dominio della provincia di Venezia sono state eseguite delle prove su un caso noto e più semplice. Si è scelto il dominio a forma di C e la corrispondente funzione spaziale  $g$  descritti in CITAZIONE NECESSARIA e nel pacchetto R *mgcv* (in figura 1.1(a)), e si è introdotta una variazione temporale deformando con il coseno:

$$f(\underline{p}, t) = g(\underline{p})\cos(t)$$

Su questo semplice caso sono stati eseguiti i primi tentativi.

### 1.1 Triangolazione e istanti temporali

Non sono presenti in questo caso punti spaziali definiti dalla natura del problema (come possono essere i comuni per la provincia di Venezia), quindi è stato necessario ricavarli. Sono stati generati casualmente 150 punti all'interno del rettangolo  $(-1, +3.5) \times (-1, +1)$ , e di questi sono stati considerati validi solo quelli che ricadevano all'interno del dominio. Non è stata usata la descrizione della frontiera presente in *mgcv*, ma una versione diversa che permette di avere punti anche nella parte rettilinea del bordo. In figura 1.1(b) è riportata la triangolazione ottenuta grazie al pacchetto R *RTriangle*. In tutti gli esempi che seguiranno sarà considerata questa descrizione del dominio, che è formata da 241 punti (133 interni, 108 di frontiera) e 372 triangoli.

Come intervallo temporale di variazione dei dati è stato scelto  $[0, 2\pi]$ , per sfruttare la periodicità del coseno. All'interno di questo intervallo sono stati ricavati 9 istanti temporali equidistanti tra di loro, quindi uno ogni  $\frac{\pi}{4}$ .

### 1.2 Caso senza covariate

Come primo passo è necessario scegliere i valori per  $\lambda$  ottimizzando l'indice  $GCV(\lambda)$  come riportato in RIMANDO NECESSARIO. In queste analisi  $\lambda_S$

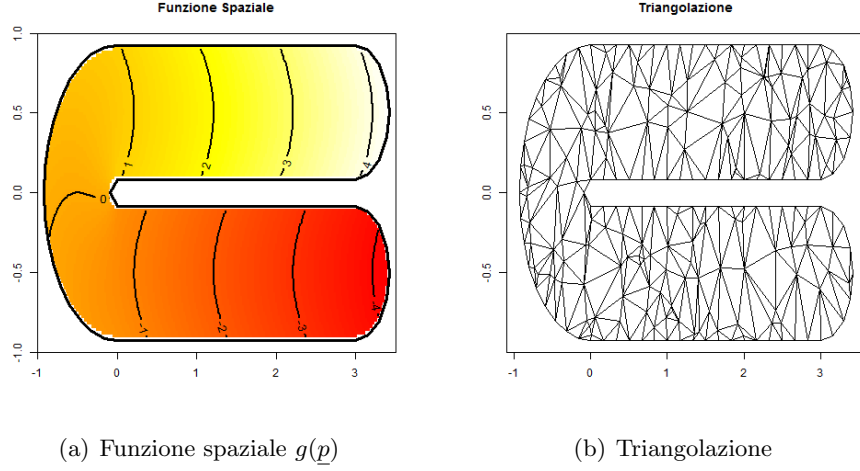


Figura 1.1: Dominio a forma di C

e  $\lambda_T$  sono sempre espressi in potenze di 10. Dopo aver creato una griglia di valori in spazio e tempo, è stato ricercato il minimo sulla griglia. Il procedimento è stato eseguito più volte, rendendo la griglia sempre più fitta. In particolare, nel primo caso i valori sono distanziati di 1, poi (una volta che è possibile centrare gli intervalli in base al risultato precedente) di 0.25 e 0.125.

Intervalli per $\lambda_S$ e $\lambda_T$	Miglior valore
$\lambda_S \in \{-5, -4, \dots, +1\}$	$\underline{\lambda} = (0, -3)$
$\lambda_T \in \{-5, -4, \dots, +1\}$	
$\lambda_S \in \{-1, -0.75, \dots, +1\}$	$\underline{\lambda} = (-0.5, -3.25)$
$\lambda_T \in \{-4, -3.75, \dots, -2\}$	
$\lambda_S \in \{-1, -0.875, \dots, +0\}$	$\underline{\lambda} = (-0.375, -3.25)$
$\lambda_T \in \{-3.75, -3.625, \dots, +2.75\}$	

Tabella 1.1: Analisi di  $GCV(\underline{\lambda})$ 

L'analisi è stata eseguita con  $\underline{\lambda} = (-0.375, -3.25)$ . I dati sono stati generati aggiungendo al valore vero (facilmente ricavabile, potendo conoscere  $g(p)$  in ogni punto) un rumore generato da una normale di media nulla e deviazione standard  $\sigma$  pari a 0.5.

La stima della funzione si è rivelata molto buona. In figura 1.2 si riportano i confronti tra funzione reale e stimata in alcuni istanti di tempo (la scala di colori è stata resa uniforme tra tutti i grafici).

Dalla figura si può notare come la funzione stimata sia effettivamente molto simile a quella reale

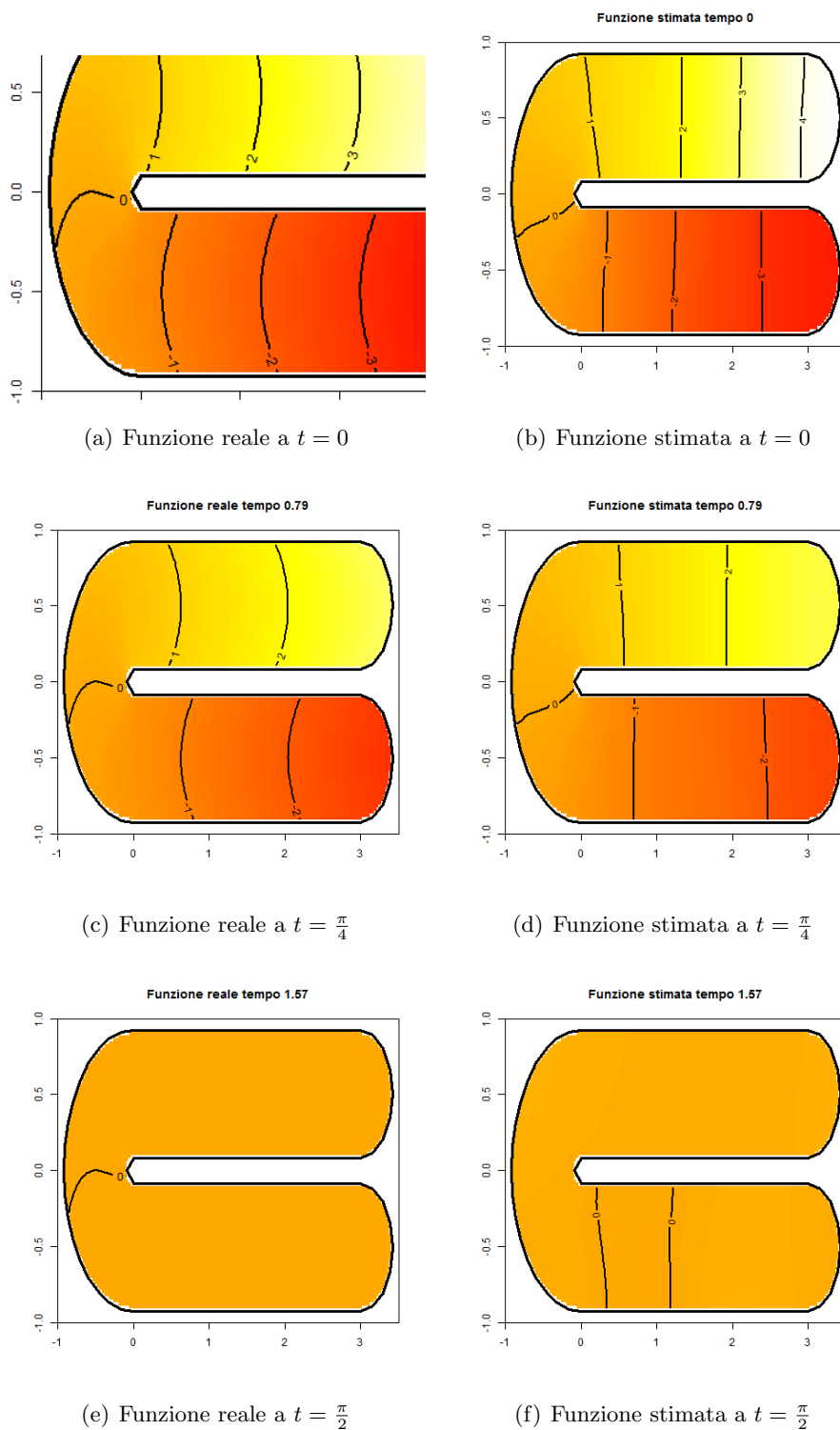


Figura 1.2: Stime della funzione  $f(\underline{p}, t)$  ad alcuni istanti di tempo